

## 基础研究

# <sup>99</sup>Tc<sup>m</sup>标记反义 miR208b 寡核苷酸及其转染离体肥大心肌细胞的实验研究

王 静,冯会娟,欧阳伟,孙云钢,吴菊清,陈 盼  
南方医科大学珠江医院核医学科,广东 广州 510282

**摘要:**目的 探索用放射性核素<sup>99</sup>Tc<sup>m</sup>标记反义 miR208b 寡核苷酸,并转染离体早期肥大心肌细胞的实验过程及方法。方法 合成针对 miR208b 的反义 miR 寡核苷酸(AMO),LNA(带锁核酸)修饰 AMO,将双功能整合剂 NHS-MAG3(N-羟基琥珀酰亚胺-巯基乙酰基三甘氨酸)与 LNA-AMO 偶联后,用<sup>99</sup>Tc<sup>m</sup> 标记,然后用 Sep-Pak C18 反相层析法对 NHS-MAG3-LNA-AMO 及其标记物进行洗脱纯化,前者同时经 Gene Quant DNA/RNA calculator 测定在 260 nm 波长处的吸光度;不同检测方法测定纯化后标记物的标记率、放化纯度、稳定性以及与靶基因杂交的活性;建立由血管紧张素 II(Ang II)诱导的离体心肌肥大细胞模型,检验早期肥大心肌细胞内 miRNA208b 的相对表达量以及经脂质体包裹的<sup>99</sup>Tc<sup>m</sup>-NHS-MAG3-LNA-AMO 在早期肥大心肌细胞内的滞留率。结果 纯化后的标记物标记率>84%,放化纯度>86%,标记物分别在新鲜人血清、生理盐水中孵育 12 h 后,放化纯度均大于 80%,并具有与靶向基因杂合的能力。离体心肌肥大模型成功建立,测得早期心肌肥大细胞内 miRNA208b 表达升高,且最终标记物转染细胞后 6 h 滞留率大于 20%。结论 在双功能整合剂 NHS-MAG3 以及 LNA 的介导下,成功将放射性核素<sup>99</sup>Tc<sup>m</sup>标记于 NHS-MAG3-LNA-AMO,最后将反义探针顺利转染早期离体肥大心肌细胞,这为后续的在体心肌肥大核素显像提供重要实验基础。  
**关键词:**miRNA208b;<sup>99</sup>Tc<sup>m</sup>;反义 miR 寡核苷酸(AMO);NHS-MAG3;心肌肥大;脂质体

## Transfection of hypertrophic cardiac myocytes *in vitro* with <sup>99</sup>Tc<sup>m</sup>-labeled antisense miR208b oligonucleotide

WANG Jin, FENG Huijuan, OU Yangwei, SUN Yungang, WU Juqing, CHEN Pan  
Department of Nuclear Medicine, Zhujiang Hospital, Southern Medical University, Guangzhou 510282, China

**Abstract: Objective** To test the efficiency of transfecting <sup>99</sup>Tc<sup>m</sup>-labeled anti-miR208b oligonucleotide into early hypertrophic cardiac myocytes *in vitro*. **Methods** The anti-oligonucleotide targeting miR208b (AMO) was synthesized and modified with LNA followed by conjugation with N-hydroxysuccinimidyl 5-acetyl-mercaptoacetyl triglycine (NHS-MAG3) and radiolabeling with <sup>99</sup>Tc<sup>m</sup>. NHS-MAG3-LNA-AMO and labeled AMO were purified with Sep-Pak C18 column chromatography, and the former was examined for UV absorption at the 260 nm using Gene Quant DNA/RNA calculator. The labeling efficiency, radiochemical purity, stability and molecular hybridization activity were analyzed. An angiotensin II-induced cell model of hypertrophic cardiac myocytes was transfected with <sup>99</sup>Tc<sup>m</sup>-NHS-MAG3-LNA-AMO via liposome, and the relative expression of miRNA208b and retention ratio of the labeled AMO in early hypertrophic cells were determined. **Results** The labeling efficiency and radiochemical purity of the labeled AMO after purification exceeded 84% and 86%, respectively. The radiochemical purities of the labeled AMO incubated in serum and normal saline for 12 h were both higher than 80%, and the labeled AMO showed a capacity to hybridize with the target gene. In the hypertrophic model of cardiac myocytes, the retention ratio of labeled AMO at 6 h was higher than 20%. **Conclusion** The <sup>99</sup>Tc<sup>m</sup>-labeled antisense probe can be efficiently transfected into hypertrophic cardiac myocytes *in vitro*, which provides an experimental basis for subsequent radionuclide imaging studies.

**Key words:** miRNA208b; <sup>99</sup>Tc<sup>m</sup>; anti-miR oligonucleotide; NHS-MAG3; myocardial hypertrophy; liposome

近年来,分子影像已成为医学影像技术新的研究领域,而基因显像是其中重要组成部分,其中基因显像又包括直接基因显像和间接基因显像,即反义基因显像和报告基因显像,前者即将放射性核素标记的反义探针转

染进靶细胞,利用核素显像仪器使得靶细胞内目标基因得到显像,从而达到在基因水平对疾病的定性、定位诊断的目的<sup>[1]</sup>。最近的研究表明,miRNA208b在未发生形态学改变的早期肥大心肌细胞内高表达,且具有高度心肌特异性<sup>[2]</sup>,而现行的检查方法只能探查已发生形态学改变后的肥大心肌细胞,依然缺乏一种早期的检查手段,根据反义显像原理,若能将核素标记的 AMO 转染进高表达 miRNA208b 的心肌细胞内,并与之杂合,就有可能达到早期肥大心肌细胞显像的目的。本实验过程以期

收稿日期:2015-03-22

基金项目:广东省科技计划项目(2012B031800125);广东省自然科学基金项目(10151051501000036);广州市海珠区科技计划项目(048101040005589)

作者简介:王 静,在读研究生,E-mail: 642593927@qq.com

通信作者:欧阳伟,主任医师,硕士生导师,E-mail: oyw1963@sina.com

## 1 材料与方法

### 1.1 材料

Sep-PakC18 反相层析柱, 美国 Waters; Gene Quant DNA/RNA calculator, 美国 Pharmacia Biotech 公司; SN-682 型放射免疫 $\gamma$ 计数器, 上海核福光电仪器有限公司; KDC-2044 低温冷冻离心机, 科大创新股份有限公司中佳分公司; 高锝酸盐 $^{99}\text{Tc}^{\text{m}}\text{O}_4$ 淋洗液, 原子高科股份有限公司; 阳离子脂质体转染剂(Lipofectamine 2000), 美国 Invitrogen 公司; 1~3 d 龄雄性 SD 小鼠, 购自南方医科大学动物实验中心, 动物批号 SCXK(粤) 2011-0015。

### 1.2 方法过程

1.2.1 LNA-AMO 的设计和制备 首先从 Genbank 中搜索到大鼠心肌细胞 miRNA208b 的基因序列为 5'-ATAAGACGAACAAAAGGTTTGT-3', 根据碱基配对原则, 合成针对 miRNA208b 的 AMO, 并经 LNA 修饰。

1.2.2 NHS-MAG<sub>3</sub>-LNA-AMO 的制备 将 NHS-MAG<sub>3</sub> 溶于无水二甲基甲酰胺(DMF)中, 配成浓度为 10 mg/mL 的溶液。取 150  $\mu\text{g}$  的 LNA-AMO 于 60  $^{\circ}\text{C}$  水浴中静置 10 min, 溶解于 150 mmol/L 的无菌  $\text{NaHCO}_3$  缓冲液(pH=8.5)中, 最终浓度为 5  $\mu\text{g}/\mu\text{L}$ 。将 NHS-MAG<sub>3</sub> 以摩尔比为 20:1 的比例逐滴加入 LNA-AMO 溶液中, 边滴加边震荡。最终配比液室温静置 1 h 后经 Sep-Pak C18 反相层析柱洗脱, 洗脱液为 30% 的乙腈溶液(溶于 0.1 mol/L 乙酸胺), 收集洗脱液, 按每管 10  $\mu\text{g}$  分装, 经 Gene Quant DNA/RNA calculator 测定各收集管在 260 nm 波长处的吸光度值, 冷冻干燥后-20  $^{\circ}\text{C}$  储存备用。

1.2.3  $^{99}\text{Tc}^{\text{m}}$  标记 NHS-MAG<sub>3</sub>-LNA-AMO 及标记物的纯化 取一管 NHS-MAG<sub>3</sub>-LNA-AMO 溶液溶解于 50  $\mu\text{L}$  0.25 mol/L 的碳酸氢盐缓冲液中, 快速依次加入 100  $\mu\text{L}$  的 N-三甲基甘氨酸(tricine)溶液(70 mg/mL)、3  $\mu\text{L}$  溶于 0.1 mmol/L 盐酸的  $\text{SnCl}_2 \cdot 2\text{H}_2\text{O}$  溶液以及高锝酸盐 $^{99}\text{Tc}^{\text{m}}\text{O}_4$  淋洗液(约 185 MBq), 室温下摇匀 3 h, 标记完毕。标记物经 Sep-Pak C18 反相层析纯化, 用生理盐水洗脱, 经 SN-682 型放射免疫 $\gamma$ 计数器测定洗脱液的放射性计数, 经快速小型纸层析法测得纯化后标记率大于 84%, 放化纯度大于 86%。纸层析法的固定相为 whatman No.1 层析纸, 展开剂为 V(丙酮):V(2 mol/L HCl)=4:1。

1.2.4 标记物稳定性及分子杂交活性测定 取等量纯化后的标记物, 分别溶解于 2 倍体积的新鲜人血清、生理盐水中, 孵育 12 h, 用快速小型纸层析法分别测定在 2、4、6、8、12 h 的放化纯度, 根据不同孵育时间放化纯度的改变以评估标记物的稳定性。而分子杂交活性的测定是将纯化后标记物与 miRNA208b 靶向基因核酸在室温下反应 1 h 后测定放射性计数, 与未杂合的标记物对比, 比较两者放射性峰值位置分布的改变。

1.2.5 建立 Ang II 诱导离体心肌肥大细胞模型并测定心肌细胞大小 将新生 SD 乳鼠经颈椎脱臼法处死, 迅速取出心脏, 预冷生理盐水清洗血迹, 滤纸吸干后, 剪去心房及右心室, 用眼科剪剪碎左心室组织, 加入消化液(胰蛋白酶及 I 型胶原酶), 于培养振荡器中消化 20 min, 弃去上清液, 重复多次消化后, 最终沉淀用 RPMI 1640 培养液分散成单细胞悬液, 经差速贴壁后富集心肌细胞, 调节细胞密度均匀种于培养皿, 加入 RPMI 1640 培养液以及 Ang II  $10^{-9}$  mol/L, 在 37  $^{\circ}\text{C}$ 、5%  $\text{CO}_2$  饱和湿度条件下培养, 分别在培养 0、12、24 h 时取细胞于 6 孔培养板上, 每孔  $1 \times 10^5$  细胞, 在相差显微镜下用测微器测量心肌细胞直径, 每孔观察 10 个视野, 每个视野观察 10 个细胞, 测平均值。

1.2.6 qRT-PCR 扩增技术测定早期肥大心肌细胞 miRNA208b 表达 将 Ang II 诱导培养了 0、12、24 h 的心肌细胞分别转移至 EP 管中, 加 Trizol 提取总 RNA, 步骤按 RT-PCR 试剂盒示: 体系包括待测 RNA 1  $\mu\text{g}$ , RT 产物 1  $\mu\text{L}$ 、Realtime PCR Master Mix(SYBR Green)5  $\mu\text{L}$ 、上游引物 0.4  $\mu\text{L}$ 、下游引物 0.4  $\mu\text{L}$  及 RNase-free  $\text{H}_2\text{O}$  混合至 10  $\mu\text{L}$ 。PCR 循环反应参数为: 95  $^{\circ}\text{C}$ , 10 s; 60  $^{\circ}\text{C}$ , 20 s; 72  $^{\circ}\text{C}$ , 30 s, 以 U6 为内参, 测定 miRNA208b 相对表达量。

1.2.7 脂质体包裹  $^{99}\text{Tc}^{\text{m}}$ -NHS-MAG<sub>3</sub>-LNA-AMO 后转染早期肥大心肌细胞 将 4.0  $\mu\text{g}$   $^{99}\text{Tc}^{\text{m}}$ -NHS-MAG<sub>3</sub>-LNA-AMO 及 10  $\mu\text{L}$  阳离子脂质体转染剂 Lipofectamine 分别稀释于 25  $\mu\text{L}$  不含血清及抗生素的 RPMI 1640 培养液, 前者即为 a 液, 后者于室温下孵育 10 min, 即为 b 液。将 a 液与 b 液混合均匀, 室温下放置 30 min 后, 将混合液加入有心肌细胞(培养 12 h 时)的培养板各孔内, 轻轻震荡混匀, 置入培养箱内, 在 37  $^{\circ}\text{C}$ 、5%  $\text{CO}_2$  饱和湿度条件下培养, 分别于 3、6、9 h 检测细胞的放射性计数, 计算细胞内放射性滞留率。

1.2.8 统计学方法 所有数据用均数 $\pm$ 标准差表示, 使用统计软件 SPSS 19.0, 组间比较用两独立样本  $t$  检验,  $P < 0.05$  有显著意义。

## 2 结果

### 2.1 目标产物收集

NHS-MAG<sub>3</sub>-LNA-AMO 经 Sep-Pak C18 反相层析柱洗脱后的洗脱液, 利用核酸在 260 nm 处具有增色效应的特点, 经 Gene Quant DNA/RNA calculator 测定其在此波长区域的吸光度, 结果图谱中显示两处波峰, 分别第 12 及 30 管处出现, 即由洗脱液中核酸所引发, 这亦说明了收集的产物为目标产物。

### 2.2 标记物稳定性的检测

标记纯化后的标记物, 分别在新鲜人血清、生理盐水中孵育 12 h, 测定在 2、4、6、8、12 h 的放化纯度, 检测放化纯度如图 1、2, 由图可看出标记物在新鲜人

血清、生理盐水中,孵育12 h后,其放化纯度均大于80%,稳定性良好。

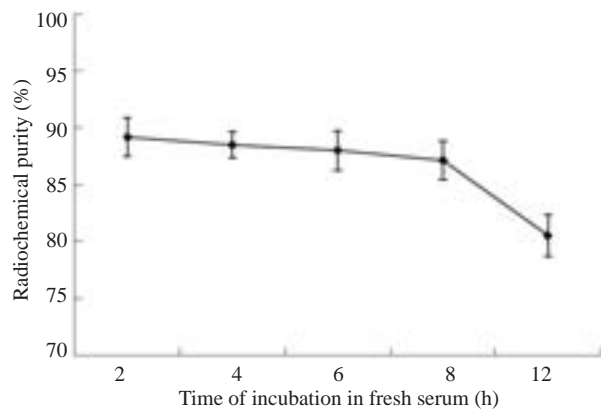


图1 标记物在新鲜血清中孵育后放化纯度的改变

Fig.1 Changes of radiochemical purities of the labeled compounds after incubation in fresh serum.

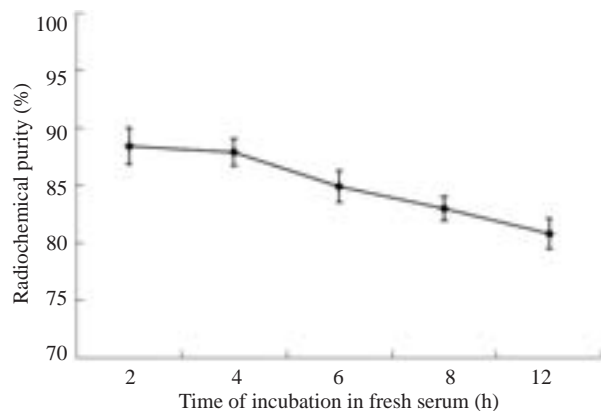


图2 标记物在生理盐水中孵育后放化纯度的改变

Fig.2 Change of radiochemical purities of labeled compounds after incubation in normal saline.

### 2.3 分子杂交活性的检测

标记物经Sep-Pak C18反相层析纯化后测量洗脱液放射性计数如图3a,标记物与miRNA208b靶基因杂合,纯化后检测洗脱液放射性计数,如图3b。根据Sep-Pak C18反相层析的原理,不同物质按照极性由强至弱的顺序先后被洗脱。杂合后的标记物极性变弱,被洗脱的顺序靠后,致其放射性峰值向后推移,间接说明了制备的标记物具有与靶基因杂合的能力。

### 2.4 心肌肥大模型的检测

通过Ang II诱导心肌肥大模型,于0、12、24 h时测定心肌细胞直径分别为 $19.252 \pm 1.80$ 、 $20.761 \pm 1.76$ 、 $27.176 \pm 1.28 \mu\text{m}$ ,后两组差异有统计学意义( $P < 0.05$ ),而前两组差异无统计学意义( $P > 0.05$ ),表明心肌细胞于24 h时已发生肥大的形态学改变,而12 h时心肌细胞尚处于早期肥大阶段。镜下心肌细胞形态(图4)。

### 2.5 心肌细胞内miRNA208b的相对量检测

利用qRT-PCR扩增技术测定经Ang II诱导培养0、

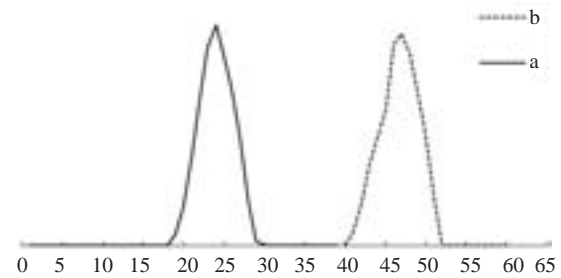


图3 杂合前后的标记物放射性计数变化

Fig.3 Radioactive count of the labeled compounds before (a) and after (b) hybridization.

12、24 h的心肌细胞内miRNA208b的相对量,如图5,可见12 h时miRNA208b相对表达量高于其他时段,且由2.4结果可知,此时心肌细胞正处于早期肥大阶段。

### 2.6 细胞放射性滞留率

脂质体- $^{99\text{m}}\text{Tc}$ -NHS-MAG<sub>3</sub>-LNA-AMO复合物与经Ang II诱导培养12 h时的离体肥大心肌细胞作用后分别于3、6、9 h检测细胞放射性滞留率,结果分别为 $13.48 \pm 2.59$ 、 $26.73 \pm 1.84$ 及 $15.62 \pm 2.96$ ,两者作用6 h时放射性滞留率达到最高,且大于20%,表明复合物在细胞内停留时间较长,这为后续细胞的显影提供更大的可能性。

## 3 讨论

核素显像是一种成熟显像技术,被研究较多的核素有 $^{125}\text{I}$ 、 $^{18}\text{F}$ 、 $^{111}\text{In}$ 、 $^{113}\text{In}$ 、 $^{188}\text{Re}$ 、 $^{99\text{m}}\text{Tc}$ 等,其中 $^{99\text{m}}\text{Tc}$ 是核医学领域应用最广的核素,如Hnatowith等<sup>[3]</sup>成功将 $^{99\text{m}}\text{Tc}$ 标记于DNA,Kang等<sup>[4]</sup>将 $^{99\text{m}}\text{Tc}$ 标记于siRNA,通过无创性方式使得siRNA在体的信息传递过程可视化,且标记物放化纯度大于92%。 $^{99\text{m}}\text{Tc}$ 可通过 $^{99}\text{Mo}/^{99\text{m}}\text{Tc}$ 发生器产生,较其他核素,其放射剂量较小,具有较高的探测率<sup>[5]</sup>,除此之外,其半衰期适中、显像清晰、价格实惠更是其优势,因而被越来越多的学者应用于分子影像领域。miRNA是近年在真核生物细胞中发现的一种小的高度保守非编码RNA分子,主要通过与靶基因mRNA的碱基配对来调节基因表达<sup>[6-7]</sup>,从而在细胞增殖、分化、凋亡等过程中起重要作用。miRNA208包括miRNA208a和miRNA208b,是目前发现唯一在心脏特异性表达的miRNA,分别由 $\alpha$ -心肌肌球蛋白( $\alpha$ -MHC)重链基因(Myh6)和 $\beta$ -心肌肌球蛋白( $\beta$ -MHC)重链基因(Myh7)编码,两者的比重变化对心肌肥大的进展起到重要作用<sup>[8]</sup>。

未经修饰的AMO不稳定,容易降解,为增强其细胞通透性、膜内稳定性以及亲和力,需对其进行修饰,修饰物如LNA(带锁核酸)、2'-OMe(2'-O-甲基)、2'-MOE(2'-O-甲基乙基)、2'-氟(2'-F)、MORF(吗啡样结构)<sup>[9]</sup>、PNA(肽核酸)等,本研究选用LNA修饰AMO,因为其具有高亲和力,且结合物具有更好的细胞通透性、稳定性和特异性<sup>[10]</sup>。同时又因裸AMO无法直接携带金属离



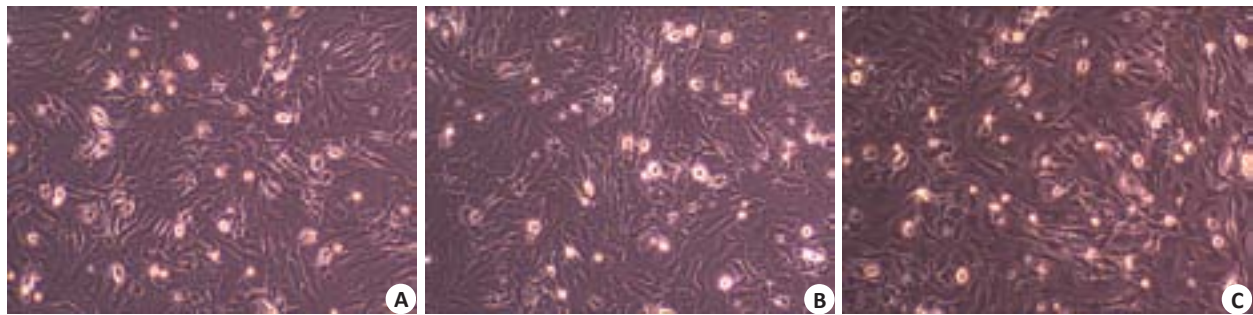


图4 经Ang II 诱导不同时间后镜下心肌细胞形态

Fig.4 Morphology of AngII-induced cardiac myocytes at 0 (A), 12 h (B), and 24 h (C) during induction (Original magnification:  $\times 100$ ).

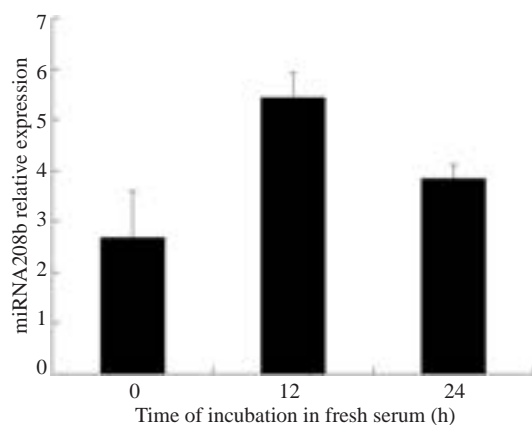


图5 qRT-PCR 扩增技术测定心肌细胞内 miRNA208b 的相对表达量

Fig.5 The relative expression of miRNA208b in the cardiac myocytes detected by qRT-PCR.

子,因此进行核素标记时必须借助双功能螯合剂介导,常见的螯合剂例如二亚乙基三胺五乙酸(DTPA)、胍基联氨基酮酰胺(HYNIC)以及N-羧基琥珀酰亚胺-巯基乙酰基三甘氨酸(NHS-MAG<sub>3</sub>),早在1985年Hnatowith等<sup>[11]</sup>使用DTPA作为抗体蛋白核素标记的螯合剂,后于1997年Winnard等<sup>[12]</sup>应用二步法合成巯基被乙酰基保护的S-acetyl-NH<sub>3</sub>-MAG<sub>3</sub>,成功将<sup>99m</sup>Tc标记于DNA,2008年Li等<sup>[13]</sup>证明NHS-MAG<sub>3</sub>的标记产物的标记率和稳定性显著高于HYNIC,同时与血浆蛋白的结合率远低于HYNIC,故本研究选用NHS-MAG<sub>3</sub>作为螯合剂。寡核苷酸作为亲水性阴离子多聚体,难以通过带负电荷的细胞膜且易被胞浆内的核酸酶水解,带正电荷的脂质体作为基因载体,因其可以提高转染率,并保护其内的核酸免遭核酸酶分解,而得到广泛应用<sup>[14-15]</sup>。

本实验证明了早期心肌肥大阶段约于模型建立12 h左右,此时心肌细胞尚未发生明显形态改变且miRNA208b表达特异性升高,奠定了早期心肌肥大核素显像的理论基础。我们最终通过双功能螯合剂NHS-MAG<sub>3</sub>的介导以及LNA的修饰,成功将<sup>99m</sup>Tc标记于反义miRNA208b的寡核苷酸(AMO),并通过脂质体载体将AMO复合物转染进早期肥大心肌细胞,这为后续以miRNA208b为靶点的早期肥大心肌细胞核素显像提供了重要的实验基础。

#### 参考文献:

- [1] Skotland T. Molecular imaging: challenges of bringing imaging of intracellular targets into common clinical use [J]. Contrast Media Mol Imaging, 2012, 7(1): 1-6.
- [2] 吴菊清, 欧阳伟, 冯会娟, 等. miRNA-208b在SD大鼠腹主动脉缩窄心肌肥厚中的表达[J]. 广东医学, 2014, 35(14): 2141-4.
- [3] Hnatowich DJ, Winnard P, Virzi F, et al. Technetium-99m labeling of DNA oligonucleotides[J]. J Nucl Med, 1995, 36(12): 2306-14.
- [4] Kang L, Wang RF, Yan P, et al. Noninvasive visualization of RNA delivery with <sup>99m</sup>Tc-radiolabeled small-interference RNA in tumor xenografts[J]. J Nucl Med, 2010, 51(6): 978-86.
- [5] Banerjee S, Pillai MR, Ramamoorthy N. Evolution of Tc-99m in diagnostic radiopharmaceuticals[J]. Semin Nucl Med, 2001, 31(4): 260-77.
- [6] Wu L, Belasco JG. Examining the influence of microRNAs on translation efficiency and on mRNA deadenylation and decay [J]. Methods Enzymol, 2008, 449(8): 373-93.
- [7] Feng HJ, Ouyang W, Liu JH, et al. Global microRNA profiles and signaling pathways in the development of cardiac hypertrophy [J]. Braz J Med Biol Res, 2014, 47(5): 361-8.
- [8] Callis TE, Pandya K, Seok HY, et al. MicroRNA-208a is a regulator of cardiac hypertrophy and conduction in mice [J]. J Clin Invest, 2009, 119(9): 2772-86.
- [9] Martello G, Zacchigna L, Inui M, et al. MicroRNA control of Nodal signalling[J]. Nature, 2007, 449(7159): 183-8.
- [10] Lennox KA, Behlke MA. Chemical modification and design of anti-miRNA oligonucleotides[J]. Gene Ther, 2011, 18(12): 1111-20.
- [11] Hnatowich DJ, Virzi F, Doherty PW. DTPA-coupled antibodies labeled with yttrium-90[J]. J Nucl Med, 1985, 26(5): 503-9.
- [12] Winnard P, Chang F, Rusckowski M, et al. Preparation and use of NHS-MAG<sub>3</sub> for technetium-99m labeling of DNA [J]. Nucl Med Biol, 1997, 24(5): 425-32.
- [13] Li YC, Tan TZ, Zheng JG, et al. Anti-sense oligonucleotide labeled with technetium-99m using hydrazinonictinamide derivative and N-hydroxysuccinimideyl S-acetylmercaptoacetyltriglycine: a comparison of radiochemical behaviors and biological properties [J]. World J Gastroenterol, 2008, 14(14): 2235-40.
- [14] Felgner PL, Gadek TR, Holm M, et al. Lipofection: a highly efficient, lipid-mediated DNA-transfection procedure[J]. Proc Natl Acad Sci USA, 1987, 84(21): 7413-7.
- [15] Akhtar S, Hughes MD, Khan A, et al. The delivery of antisense therapeutics[J]. Adv Drug Deliv Rev, 2000, 44(1): 3-21.

(编辑:孙昌朋)